

ՍՈՂԱՆՔԱՅԻՆ ԵՐԵՎՈՒՅԹՆԵՐԸ ՄԱՐՏԻՐՈՍ ԳՅՈՒՂՈՒՄ (ՀԱՅԱՍՏԱՆ)

Պրոֆեսոր, տեխն. գիտ. դոկտոր ԳԵՂՄԱՅ ՏԵՐ-ՍՏԵՓԱՆՅԱՆ^{1*},
ԽԵԺԵԵՐ-ԵՐԿՐՈՎԱՆ ԱՆԱՀԻՏ ԱՌԱՔԵԼՅԱՆ^{2*} և
ԽԵԺԵԵՐ-ՀԻՆԱՐԵՎ ՀԱՍՄԻԿ ՏԵՐ-ՍՏԵՓԱՆՅԱՆ^{3*}

Ո և ֆ ե ր ա տ. Մարտիրոս գյուղը տեղադրված է սաղցաղաշտային նստվածքների վրա, որոնք ստորագրված են երրորդական ապարների նստվածքային հաստույթով: Գյուղի արևելյան մասում սաղցաղաշտային նստվածքներն ունեն քարայի կազմություն (զարարեր լցանյութով), իսկ արևմտյան մասում՝ հողային նյութով (կազ և մերձակավ գարարերով):
Սաղցաղաշտային նստվածքները ջրառատ են, դիտվում են գետնաջրերի բազմաթիվ ելքեր: Գյուղի հյուսիսային մասում ջրառատ հողային սաղցաղաշտային նստվածքներում զարգանում է երկու սողանք և դրանց հետ կապված խորրային սողքի վայրը՝ Դրանցից առավել խոշորը՝ ժառանգված է, որի մեխանիզմը պարզվեց ուղիղիքի պատմությունը ուսումնասիրելուց հետո: Լանջի դինամիկային ուսումնասիրությունը կառուցվածքների սողանքային ձևափոխությունների վերլուծման հիման վրա, թույլ է տախիս գյուղի տերիտորիան բաժանել երեք ինժեներա-երկրաբանական ջրանիշ՝ տարրեր կայունության աստիճանով, և հանձնարարել հակասղանքային միջոցառումներ:

Մարտիրոս գյուղում (ՀԱՍՀ Հարավ-արևելյան մաս) զարգանում են երկու ակտիվ սողանքներ A և B (նկ. 1)⁴: Դրանց սահմանակցությունը է խորքային սողքի F գոտին: Այդ սողանքային երկությունները սերտ կապված են տեղանքի երկրաբանական կառուցվածքի (Պաֆենգոլց, 1959; Գաբրիելյան, 1946; Ասլանյան, 1958)⁵ և ուղիղիքի զարգացման պատմության (Ասլանյան և Բալյան, 1963; Դումիտրաշկո, 1949) հետ:

ՇՐՋԱՆԻ ԵՐԿՐԱԲԱՆԱԿԱՆ ԿԱՌՈՒՅԹՎԱԾՔԸ

Մարտիրոս գյուղը տեղադրված է ընդարձակ ալիքավոր հարթավայրում, որը աստիճանաբար բարձրանում է դեպի Հարավ՝ Հայոցձորի լեռնաշղթան Սինոր և Գոգի գագաթներուվ: Հարթավայրի արևելյան մասում հոսում է Մարտիրոս գետը (M):

Ուսումնասիրված տեղանքի արևելյան կեսն ունի համեմատաբար հանդիսական ուղիղիք, տեղանքի արևմտյան կեսում միջօրեականի ուղղությամբ ձգվում են ձվածկ դրումինների մի շարք, որոնք արևելյանում բարձրանում են մինչև

¹ Գեղմեխանիկայի բաժնի վարիչ:

² Գեղմեխանիկայի բաժնի առաջատար ինժեներ:

³ Գեղմեխանիկայի բաժնի ալվագ ինժեներ:

⁴ ՀԱՍՀ ԳԱ Երկրաբանական գիտությունների ինստիտուտ:

⁵ Նկարները տե՛ս էջ 105—106:

⁵ Գրականությունը տե՛ս էջ 104:

90 մետր՝ հարակից դաշտավայրից վեր: Տեղանքի հյուսիս-արևմտյան մասում դրում լինների միջև, ուղիեթի հշեցվածքներից մեկում, տեղադրված է Պիրասի անհու փոքրիկ լիճը (P):

Երկրաբանական կտրվածքի հիմքում (նկ. 2 և 3) ընկած է միջին էոցինի նստվածքային 1 շերտախումբը, որը ներկայացված է կանաչագեղնավուն մերգելային կավերի և ավազաքարերի բարակ շերտերի հերթափոխությամբ. դրանք ընկնում են 12—15° անկյան տակ գեպի հյուսիս-արևմուտք, 290—300° աղիմուտով: Նստվածքային շերտախմբի ապարներն ամուր են և ճեղքավորված, դրանց մեջ նկատվում են խախտման հարթություններ, որոց տեղերում լավ աշխի են ընկնում կտրուկ անցումները՝ դիբ անկումով շերտերից գեպի փոքրաթեր շերտերը:

Նստվածքային շերտախմբի լվացված մակերևույթի վրա տեղադրված են նեղուամուրագույն և բաց մոխրագույն տուֆ-ավազաքարերի, տուֆակոնգլոմերատների և տուֆարբեկշիաների շերտերի հերթակայումով. ապարները պինդ և ճեղքածքավոր են, մանրահատիկ մոխրով ամուր ցեմենտացված: Առավել խոշոր ներարկումները կազմված են ապարների կլորագուն բեկորներից անդեղիտապորֆյուրիտային և դաշտային կազմով. հանդիպում են հրաբխային ռումբեր, վերևում այդ ապարները վեր են ածվում հրաբխային ապարների՝ պորփյուրիտաների և անդեղիտների:

Նկարագրված հաստվածքը մերկանում է Մարտիրոս գետի աջ ափին, որտեղ կազմում է դիբ, համարյա ուղղաբերձ Տ լանջի միջին և վերին մասերը 300 մ բարձրությամբ և 50 մ լանջությամբ: Այստեղ, լանջի ստորոտում հրաբխածին հաստվածքում, 12-րդ դարի վիմափոր 25 վանքի ներքին պատերը դեռևս պահպանել են իրենց թարմ տեսքը: Տեղանքի արևմտյան մասում հրաբխածին հաստույթը մասնակիորեն կազմում է նկարագրված դրումլինների վերին մասը:

Նստվածքային և հրաբխածին հաստույթների վրա տեղադրված են սառցադշտային նստվածքները: Տեղանքի արևելյան մասում դրանք ներկայացված են մինչև 45 մ հաստույթուն ունեցող ավազային լցորդով, 3 խոշորաբեկոր գլաքարերով, որոնք գյուղի հյուսիսային մասում ծածկված են մինչև 13 մ հաստույթուն ունեցող գլաքարային կավերով, իսկ արևմտյան մասում—մանրահատիկ մոխրագույն տուֆագենն 4 նյութով (մոխիր, կոպիճ, խիճ և գլաքարեր), շերտավոր ավազի և կոպիճի ոսպնյակներով և նստվածքային ապարների թույլ կլորացված բեկորներով:

Հովտի միջին մասում, ուղիեթի թույլ ըլլավորված իջվածքում սառցադշտային նստվածքների վրա տեղադրված են լճա-սառցադշտային նստվածքներ, որոնք ներկայացված են շագանակագույն մերձակավով:

Հրաբխածին և սառցադշտային նստվածքներն ուժեղ ջրաթափանցելի են և շատ ջրառատ: Հրաբխածին հաստվածքը տարածված լինելով մեծ մակերեսում և ունենալով չրահավաք մեծ մակերևույթ, կազմում է հզոր ջրատար հորիզոն: Այդ ջրերի մի մասը ջրատար կոնտակտի մերկացման տեղերում, Մարտիրոս գետի աջ ափում, դուրս են գալիս մակերևույթ՝ առատ աղբյուրների ձևով, մյուս մասը մտնում են սառցադշտային նստվածքների մեջ:

Ջրատար հորիզոնը սեպանում է գյուղի հյուսիսային ծայրամասում սառցադշտային նստվածքների եզրի և դրանց տակից դուրս եկող հրաբխածին ապարների նեղ շերտի երկարությամբ: Սառցադշտային նստվածքների սրնմանը նպաստում է նաև ոռոգման առուն 18, որը անցնում է գյուղի հյուսիցին մասով, մոտավորապես 1,5 կմ տարածության վրա:

Սառցադշտային նստվածքներում ջրերն ունեն տարբեր քիմիական կազմ: Տեղանքի արևելյան մասում խոշոր բեկորային նյութով կազմված սառցադշտային նստվածքներում գերակշռում են կարբոնատ-սովորային կազմի ջրերը, իսկ արևմտյան մասի մանրահատիկ նստվածքներում՝ ալկալի-քլորիդային կազմի ջրեր:

**ՈԵԼԻԵՖԻ ԶԱՐԳԱՑՄԱՆ ՊԱՏՄՈՒԹՅՈՒՆԸ ՉՈՐՐՈՐԴԱԿԱՆ
ԺԱՄԱՆԱԿԱՆԱՐՁԱՆՈՒՄ**

Ոիսյան (?) սաոցապատման ժամանակից շրջանն իրենից ներկայացնում էր ուղիեթի հասուն ձևերով մի լեռնաշխարհ։ Սաոցապատումը կրում էր լեռնաշխարհի բնույթ, հավանական է սաոցադաշտային ծածկութիւններով լեռնաշխարհի բնույթ, հավանական մասերում։ Սաոցադաշտերն իշխում էին ուղղաշղթաների կենտրոնական մասերում։ Սաոցադաշտերն իշխում էին ուղղաշղթափած շրջանը, ինչպես արևելքից՝ Մարտիրոս գետի կիրճով Գոզի լեռան լանջերից, այնպես էլ հարավից լայն, համենի հովտով Մինոր լեռան լանջերից։

Ապարները, որոնցով անցնում էին սաոցադաշտերն ունիին տարրեր գենուգացիոն հատկություն։ Տերիտորիայի արևմտյան մասում մերկացող նըրքաշերտավոր նստվածքային հաստույթը հեշտությամբ հնթարկվում էր վերամշակման, առաջացնելով փիրուն նյութի մեծ զանգվածներ, որոնց մեջ ներդրված էին թույլ կորացված նստվածքային ապարների բեկորներ։ Տերիտորիայի արևելյան մասում տեղադրված ուժեղ ցեմենտացված հրաբախածին բեկորային հաստույթը է փուզիվ ապարների միջնաշերտերով զգալիորեն բարձր էր դիմադրում սաոցադաշտային մշակմանը և տալիս էր ավելի փոքր բանակությամբ ժայթքային ապարների լավ կորացված բեկորային նյութ, որը ստացվում էր տուֆակոնդլոմերատների մասնաւում հետևանքով։

Երկրաբանական կառուցվածքի յուրահատկությունները բնորոշեցին ուսումնասիրված տերիտորիայի վրա բեկորային նյութի մուտքի տարրերությունը։ Սաոցադաշտի հոսքի աջ կողմից մտնում էր համեմատարար քիչ քանակությամբ խոշորաբեկոր կլորացած նյութ, սաոցադաշտը գերբեռնված չեր կարծր բերուկներով, այդ իսկ պատճառով նրա արթացիոն ներգործությունն ինտենսիվ էր և հատակային մորենն ունի խոշորաբեկորային կազմ։ Դա ներկայացված էր գլխավորապես գլաքարերով, ավազա-մերձակավի փոքր քանակով։ Շարագրումը հեշտացնելու համար դա անվանված է քարաշտա մորեն։ Սաոցադաշտի հոսքի ձախ կողմից մտնում էր մեծ քանակությամբ մանրանատիկ նյութ, որն ուժեղ գերբեռնում էր սաոցադաշտը և դրանով դանդաղեցնում նրա շարժումը, այդ իսկ պատճառով այստեղ սաոցադաշտային և սաոցադաշտային նստվածքները ներկայացված են մանրանատիկ նյութով։ Դրանց մեջ գերակռում են մերձակավերք և կավերը, գլաքարերի փոքր քանակով (պայմանականորեն նավանվում է հողաշտա մորեն)։

Սաոցադաշտի կյանքի վերջին ժամանակաշրջանում ավելացավ սաոցադաշտի ձախ ճյուղի հզորությունը և այն մղեց աջ ճյուղը գեպի արևելք։ Դրա հետևանքով, գյուղի հյուսիսային մասում, ժամանակակից սողանքների շրջանում խոշորաբեկոր նյութը (քարաշտա մորեն) ծածկվեց մանրահատիկ նյութով (հողաշտա մորեն)։

Այդ յուրահատկությունները հեշտապես համարված է սաոցադաշտային ուղիեթի կտրուկ տարրեր ձևերու Սաոցադաշտային հովտի աջ ափի ունի բնորոշ տրոգածելու ուրվագիծ՝ հարթ հատակով և դիր լանջով։ Զախ կողմից սաոցադաշտի շարժման երկարակությամբ ձգվում են դրում լիններ, որոնց միջուկները կազմված են նստվածքային և հրաբխածին ապարներով։ Դրում լինների առաջացման մեջ որոշակի գեր էին խաղում վերջնային մորենները այն սաոցադաշտի, որը դուրս էր գալիս աջ կողմից՝ Մարտիրոս գետի կիրճից նրա զարգացմանն ավելի վաղ փուլում։ Այդ ապացուցում է դրում լիններում հրաբխածին-բեկորային հաստվածքի քայլքայման արդյունքների առատությունը։ Սաոցադաշտի զարգացման հետագա փուլերում վերջնային մորենը վերամշակվեց սաոցադաշտի կողմից, որը փոխեց դրա կուտակման ձևը։

Սաոցադաշտը նահանջից հետո, ուսումնասիրված տեղանքում, տարրեր ժամանակում առաջացան սաոցադաշտային լճեր, դրանցից ամենամեծը ընկած է գյուղի վերևում գտնվող լայն հովտում, իսկ փոքրը՝ գյուղի տերիտորիայում։ Դրանց մեջ առաջացան շագանակագույն մերձակավերք հաստույթ։

Գյուղի վերևում պահպանվել են մեծ լճի պատուման ակնհայտ հետքեր

(նկ. 1): Դուրս թափված չըերը լվացել են ոչ բարձր պատճեշը և աշակցել Մարտիրոս գետի էրողիոն ներկտրմանը:

Ըելիքի ձևավորման վերջին կարևոր փուլն է հանդիսանում գետագրական ցանցի վերին շորրորդական (?) ներկտրումը տեղանքի արևմտյան մասում, այդ ժամանակ էլ առաջացել են Մարտիրոս գետի վտակների բազմաթիվ V-նման հովիտները: Մեծ տերիտորիայի վրա լվացվել են սառցադաշտային նստվածքները և էղոցնյան նստվածքային հաստվածքում առաջացել են ուլիքի էրողիոն ձևեր:

Տեղանքի նորագույն ժամանակաշրջանի հետաքրքիր վկայողն է Մարտիրոս գետի հոնի ուրվագիծը: Քարտեզի վրա (նկ. 1) հեշտությամբ բացահայտվում են գետի հոսքի շեղումներն ըսդհանուր ուղղությունից: Այդ շեղումների տեղերը լավ են կապվում հարակից տեղանքների ուլիքի և երկրաբանական կառուցվածքի հետ: G և H տեղանքների վրա գետը շեղված է դեպի ձախ՝ հնամենի C և D սողանքների վրաշարժման հետևանքով, որոնք զարգանում էին աջ ափից: K տեղանքի վրա գետն ուժեղ շեղված է դեպի աջ՝ հնամենի խոշոր E սողանքի ազդեցության տակ, որը զարգանում էր ձախ ափին: Այս նույն տեղանքները լավ են հայտնաբերվում գետի երկայնակի պրոֆիլի վրա (նկ. 4). այդ տեղանքներում գետի հատակը բարձրացած է լանջերից նյութի լրացուցիչ քանակի մուտքի հետևանքով:

Հնամենի սողանքները տեղի են ունեցել շատ վաղ՝ մինչ գյուղի հիմնադրումը: Դրանց պատճառն էր լանջերի ենթակտրումը հատակային էրողիայի հետևանքով: C և D սողանքները գտնվում էին սողքի փուլում, համենայն դեպի տեղաշարժումները մեծ չէին: Դրան հակառակ հնամենի E սողանքը շատ խոշոր էր և ուներ աղետային բնույթ: Այդ սողանքի հետևանքով Մարտիրոս գետը պատվարվեց և շեղվեց դեպի աջ՝ սողանքային լեզվի սահմաններից դուրս. դրանով է բացատրվում գետի ուժեղ շեղումը այս մասում: Հնամենի սողանքների տարբեր բնույթը բացատրվում է հովիտը կազմող նյութերի տարբերությամբ: Քարաշատ մորենի զարգացման վայրում Մարտիրոս գետի աջ ափում C և D սողանքները մեծ չէին և այժմ լանջը այստեղ կայունացվել է: Հողաշատ մորենի զարգացման վայրում, գետի ձախ ափում E սողանքը խոշոր էր. այդ հնամենի սողանքի մի մասը շարունակում է շարժվել, առաջնական ժամանակակից B սողանքը:

ԺԱՄԱՆԱԿԱԿԻՑ ՍՈՂԱՆՔԱՅԻՆ ԵՐԵՎՈՒՅԹՆԵՐԻ ՎԵՐԼՈՒՇՈՒՄԸ

Գյուղի հյուսիսային ծայրամասում, գետնաշրերի սեպացման տեղանքում ներկայումս լայնորեն զարգանում են սողանքային երևույթներ: Այստեղ դիբ լանջի պայմաններում զարգանում են երկու ակտիվ սողանքներ (նկ. 1 և 3): Արևմտյան A սողանքը ներգրավում է հրաբխածին հաստվածքը, որին սողունության բաղիս են ծառայում արմատական նստվածքային հպարների ելուստները: Դա ուլիքի գոտում արտահայտված է աստիճանավոր սողանքային աստիճանների շարքով, որոնք իջնում են լանջնիվար:

Երկրորդ խոշոր B սողանքը ընկած է հնամենի E սողանքի ձախ մասում. ինչպես նշված է վերը, այդ սողանքը պատվարեց Մարտիրոս գետը: Դրա հետևանքով սողանքի աջ կեսը կայունացել է, իսկ ձախը շարունակվում է շարժվել՝ մի քիչ թեքվելով դեպի ձախ: Սողանքը հատակագծում ունի ձգված աղեղի ձև (նկ. 1) և ոչ հարթ մակերեսույթ: Այստեղ շարժման մեջ ներգրավված են գլաքարային կավերը, որոնք խոնավանում են գլաքարային նստվածքների շրերով:

Գյուղի հյուսիսային ծայրամասում այդ սողանքներին կից զարգանում է խորբային սողքի F գոտին: Տեղադրված լինելով սառցադաշտային նըստվածքների ներքին սահմանի մոտ, այս գոտին զարգանում է անհավասարաշափ: Լանջի ձախ, շրաբրի մասում, որը կազմված է գլաքարային կավերով (հողաշատ մորեն), ընթացքը մոտենում է կտրման փուլին և գրունտում առաջանում են լայն ձեղքեր, շենքերը կրում են ուժեղ սողանքային ձևափառու-

թյունների հետքեր: Աչ, ջրասակավ մասում, որը կազմված է գլաքարյին թյունների (քարաշատ մորեն), ընթացքը գտնվում է խորքային սողքի սկզբնանուով (քարաշատ մորեն), ընթացքը գտնվում է խորքային սողքի սկզբնանուով:

Հանջի դիմամիկայի ուսումնասիրությունը սողանքային ձեղքերի վերլուծման եղանակով տվյալ պայմաններում շեր կարող տալ նկատելի արդյունքներ, քանի որ գրունտում ձեղքերը արագ ոչնչանում են հողի մշակման, սուլիֆլուկտիվայի և այլ հետևանքներով: Մեծ օգնություն ցույց տվեց շննդերի սողանքային ձեսփիփությունների ուսումնասիրությունը, քանի որ այդ շարժումների հետքերը պահպանվում են: Այդ հարցը մանրամասնորեն շարադրված է այլ աշխատությունում (Տեր-Ստեպանյան և այլ.՝ 1970):

Ձեսփիփությունների վերլուծման նպասակն է գրունտում առաջնային ձեղքերի բնույթի (ինտենսիվության և ուղղության) հաստատումը, հիմնվելով շննդերի երկրորդային ձեղքերի տեսքի վրա: Նշված աշխատությունում տրվում է կառուցվածքների դասակարգումը, ըստ նրանց ձեսփիփությունների վրա հակազդելու ունակության (կոնստրուկցիաների վեց տեսակ) և գրունտի ձեսփիփության դասակարգում. ըստ ինտենսիվության (վեց աստիճան):

Մարտիրոս գյուղի շենքերն ըստ կոնստրուկցիայի տեսակի հետեւալ շորս տիպի են:

1. Սասանվող կառուցվածքներ (հին ձեր քարե տներ երդիկով, կլորավուն քարերից շարած կավով). այստեղ ձեղքերի ուղղությունը շենքերի պատերում համընկնում է ձեղքերի ուղղության հետ գրունտում:

2. Կազմովի կառուցվածքներ (նոր ձեր քարե տներ, կլորավուն քորերից շարած կավով, պատուհանային բացվածքներով). այստեղ ձեղքերը պատերում անցնում են ամենաթույլ դիմադրության գծով (դոների և պատուհանների բացվածքներ), պատին ուղղահայաց և կարող են մի քիչ թեքվել գրունտում առաջնային սողանքային ձեղքերից:

3. Հավաքովի կառուցվածքներ (բետոնից կառուցած տներ կտրովի հիմքով). այստեղ երկրորդական ձեղքերն անցնում են հիմքի մասերի միջի սահմանով և կարող են ուժեղ շեղվել գրունտում առաջնային ձեղքերի ուղղությունից:

4. Կոշտ կառուցվածքներ (քարե տներ բետոնե ամրանավորված հիմքով և կոշտ միջնարդային ծածկերով). դրանք առանց ձեսփիփուման տեղաշարժվում են գրունտի հետ միասին:

Գյուղի հյուսիսային մասում շենքերի հետախուզման արդյունքները ցույց են տրված քարտեղի վրա (նկ. 1): Քանի որ շենքերի ուրվագծերը հատակադում նշանակություն չունեն և հետաքրքրություն են ներկայացնում միայն գրունտում սողանքային ձեղքերի ուղղությունը, շենքերը քարտեղի վրա ցույց են տրված շրջանակների ձևով, իսկ ձեղքերի ուղղությունները — դրանց հատող գծիկներով:

Գրունտում սողանքային ձեսփիփությունների քարտեղագրումը հնարավորություն տվեց ուրվագծել խորքային սողքի գոտին:

Ե Զ Բ Ա Կ Ա Ց Ո Ւ Թ Յ Ո Ւ Խ Ն Ե Ր

Գյուղի տերիտորիան ըստ կայունության աստիճանի ստորաբաժանվում է երեք շրջանի:

Գյուղի արևելյան մասի (քարտեղում ցույց է տրված I թվով) հիմքը կազմում են խիստ սաղցաղաշտային նստվածքները. այդ տերիտորիան լիովին կայուն է և կարող է հիմք ծառայել կապիտալ շինարարության համար:

Գյուղի արևմտյան մասի (ցույց է տրված II թվով) հիմքը կազմում են լճային նստվածքներ, որոնց տակը գտնվում է ջրառատ հողաշատ հատակային մորենը: Գյուղի այդ մասը այժմ կայուն է. կապիտալ շինությունների կառուցման հնարավորությունը ապահովելու համար անհրաժեշտ է կազմակերպել գետնաշրերի հավաքում, մեկուսացնելով ոռոգող առվի ջուրը:

Գյուղի հյուսիսային մասը (ցուց է տված III թվով) սահմանակից է շատ ջրառատ իջեցմանը: Այստեղ զարգանում են սողանքները և լանջի խորքային սողը, և շինարարությունը ալժմ անթուլպարելի է: Գետնաշրերի հեռացումը այս տեղանքում անհրաժեշտ է ոչ միայն դրա կայունությունը պահպանելու համար, այլև արևատյան տեղանքում խորքային սողը զարգացման կանխամար:

Գյուղում շենքերը կառուցելիս հանձնարարվում է լայնորեն կիրառել միջոցներ, որոնք կապահովեն դրա սողանքակայունությունը՝ ցեմենտե շաղախ, հիմքերի ամրանափորում և կոշտ գոտիներ:

Հեղինակները շնորհակալություն են հայտնում Երկրաբանական գիտությունների ինստիտուտի ավագ գիտական աշխատողներին, աշխարհագրական գիտությունների թեկնածուների Գեղամ Արքահամբայնին և Լևոն Զոհրաբյանին սողանքի դիտմանը մասնակցելու համար և ավագ ինժեներ աշխարհագրագետ Վոլոդյա Զաքեյանին սողանքային ճեղքերի գծահանմանը օգնելու համար:

ОПОЛЗНЕВЫЕ ЯВЛЕНИЯ В СЕЛ. МАРТИРОС, АРМЕНИЯ

Профессор, доктор техн. наук Г. И. ТЕР-СТЕПАНЯН^{1*},
инженер-геолог А. П. АРАКЕЛЯН^{2*} и
инженер-строитель А. Е. ТЕР-СТЕПАНЯН^{3*}

Р е ф е р а т. Село Мартирос расположено на ледниковых отложениях, подстилаемых осадочными породами третичного возраста. Ледниковые отложения в восточной части села имеют каменистый состав (валуны с заполнителем), а в западной части— землистый (глины и суглинки с валунами). Ледниковые отложения обводнены; наблюдаются многочисленные выходы грунтовых вод. В северной части села в сильно обводненных землистых ледниковых отложениях развиваются два оползня и связанные с ними зона глубинной ползучести. Более крупный оползень унаследован; его механизм выявился в результате изучения истории развития рельефа. Исследование динамики склона на основе анализа оползневых деформаций зданий позволило разделить территорию села на три инженерно-геологических района с различной степенью устойчивости и рекомендовать противооползневые мероприятия.

На северной окраине сел. Мартирос (юго-восточная часть Арм. ССР) развиваются два активных оползня *A* и *B* (рис. 1)⁴, к ним примыкает зона глубинной ползучести *F* склона. Эти оползневые явления тесно связаны с геологическим строением (Паффенгольц, 1959; Габриелян, 1946; Асланян, 1958)⁵ и историей развития рельефа участка (Асланян и Бальян, 1963; Думитрашко, 1949).

ГЕОЛОГИЧЕСКОЕ СТРОЕНИЕ РАЙОНА

Сел. Мартирос расположено на широкой, волнистой равнине, к югу постепенно поднимающейся к Айоцдзорскому хребту с вершинами Синор и Гоги. С восточной стороны равнине протекает река Мартирос (*M*). Восточная половина исследованного участка имеет сравнительно спокойный рельеф; на западной половине участка расположена

¹ Зав. отделом геомеханики

² Ведущий инженер отдела геомеханики

³ Старший инженер отдела геомеханики

⁴ Институт геологических наук АН Армянской ССР.

⁵ Рисунки см. на стр. 105—106.

⁶ Литературу см. на стр. 104.

серия эллипсоидальных друмлинов 12, вытянутых в меридиональном направлении и возвышающихся до 90 м над прилегающей с востока полосой. В одном из понижений рельефа между друмлинами в северо-западной части участка образовано небольшое бессточное озеро Пира-салич (*P*).

В основании геологического разреза (рис. 2 и 3) лежит осадочная толща 1 среднего эоцена, представленная чередованием тонких слоев зеленовато-желтых мергелистых глин и песчаников; они падают на северо-запад под углом 12—15° с азимутом 290—300°. Породы осадочной толщи крепкие, трещиноватые; в них отмечаются плоскости смещения, по которым местами крутое падение слоев резко переходит к пологому.

На размытой поверхности осадочной толщи залегают вулканогенно-обломочные отложения 2 неогена; они представлены чередованием слоев туфопесчаников, туфоконгломератов и туфобрекций желто-серого и светло-серого цветов, плотных, трещиноватых, крепко сцепленных мелкозернистым пеплом. Более крупные включения состоят из обломков пород андезит-порfirитового и дацитового состава; встречаются вулканические бомбы. Вверху эти породы переходят в вулканические породы—порфиры и андезиты. Описанная толща обнаруживается на правом берегу долины р. Мартирос, где образует крутой, почти отвесный склон *S* высотой до 300 м и шириной до 50 м. В основании склона в этой толще высечен пещерный храм 25 (XII век), внутренние стены которого сохранили свежий вид. В западной половине участка материал вулканогенной толщи частично слагает верхнюю часть описанных выше друмлинов.

Над осадочной и вулканогенной толщами залегают ледниковые отложения. В восточной половине участка они представлены крупнообломочным валунным материалом 3 с песчаным заполнителем мощностью более 45 м, перекрытыми в северной части села (район оползней) валунными глинами мощностью до 13 м, а в западной половине—мелкозернистым туфогенным материалом 4 серого цвета (пепел, гравий, щебень и валуны), с линзами слоистого песка и гравия и слабо окатанными обломками осадочных пород.

В средней части долины на слабо всхолмленном понижении рельефа над ледниковыми отложениями залегают озерно-ледниковые отложения, представленные коричневым суглинком.

Вулканогенные и ледниковые отложения хорошо водопроницаемы и сильно обводнены. Мощный водоносный горизонт образуется в вулканогенной толще, имеющей большую водосборную площадь. Часть вод этого горизонта выходит на поверхность на правом берегу р. Мартирос в виде крупных родников, другая часть питает ледниковые отложения. Водоносный горизонт выклинивается у северной окраины села вдоль края ледниковых отложений и узкой полосы выступающих под ними вулканогенных пород. Воды ледниковых отложений и вулканогенной толщи образуют грунтовый поток, протекающий с юга на север по контакту с осадочными породами. Питанию ледниковых отложений водами содействует и утечка воды из оросительной канавы 18, проходящей в южной части села на протяжении 1,5 км.

Воды ледниковых отложений имеют различный химический состав. В крупнообломочных ледниковых отложениях восточной половины участка преобладают воды карбонатно-сульфатного состава, а в мелкозернистых отложениях западной половины—воды щелочно-хлоридного состава.

ИСТОРИЯ РАЗВИТИЯ РЕЛЬЕФА В ЧЕТВЕРТИЧНОЕ ВРЕМЯ

Ко времени рисского (?) оледенения район представлял собой горную страну со зрелыми формами рельефа. Оледенение носило горно-долинный характер, возможно, с ледяными покровами в центральных частях хребтов. В район исследований ледники спускались как со склонов вершины Гоги по ущелью реки Мартирос, так и со склонов вершины Синор по широкой древней долине, с юга.

Денудационная способность пород, по которым проходил ледник, была различной. Тонкослоистая осадочная толща, обнажающаяся в западной части территории, легко поддавалась переработке, образуя большую массу рыхлого материала с включением плохо окатанных обломков осадочных пород. Сильно cementированная вулканогенно-обломочная толща с прослойями эфузивных пород восточной части территории оказывала значительно большее сопротивление леднико-вой обработке и в результате образовалось меньшее количество хорошо окатанного обломочного материала изверженных пород, получившегося вследствие дезинтеграции туфоконгломератов.

Особенности геологического строения определили различие в поступлении обломочного материала на изучаемую территорию. С правой по течению ледника стороны поступало сравнительно небольшое количество крупнообломочного окатанного материала, и ледник не был перегружен твердыми наносами; поэтому его аблационная деятельность была интенсивной и донная морена имела грубообломочный состав; она представлена, главным образом, валунами при небольшом количестве песчано-суглинистого материала; для удобства изложения она названа нами каменистой мореной. С левой, по течению ледника, стороны поступало большое количество мелкозернистого материала, который сильно перегружал ледник и тем замедлял его движение; поэтому здесь ледниковые и флювиогляциальные отложения представлены мелко- и тонкозернистым материалом; в них преобладают суглинки и глины при небольшом количестве валунов (условно названы нами землистой мореной).

В последний период жизни ледника увеличилась мощность его левой ветви, и она оттеснила к востоку правую ветвь. В результате в северной части села, в районе развития современных оползней, крупнообломочный материал (каменистая морена) был перекрыт мелкозернистым материалом (землистой мореной).

Эти особенности легко объясняют резко различные формы ледникового рельефа. Правый борт ледниковой долины имеет характерное трохообразное очертание с плоским дном и крутым склоном. С левой стороны вдоль движения ледника вытягиваются друмлины, ядра которых сложены осадочными и вулканогенными породами. В формировании друмлинов известную роль играли конечные морены ледника, выходящего из ущелья р. Мартирос в более ранние стадии его развития. На это указывает обилие продуктов разрушения вулканогенно-обломочной толщи в материале друмлинов. В последующие фазы развития ледника конечная морена была переработана ледником, изменившим ее форму.

После отступления ледника на исследуемом участке разновременно возникли ледниковые озера: более крупное образовалось в широкой долине выше села и меньшее—на его территории; в них отложилась толща коричневых суглинков.

Сохранились отчетливые следы прорыва большого озера выше се-

ла (рис. 1). Прорвавшиеся воды размыли невысокую перемычку и содействовали эрозионному врезу реки Мартирос.

Важным этапом формирования современного рельефа является верхнечетвертичный (?) врез гидрографической сети в западной части участка, когда образовались многочисленные *V*-образные долины притоков р. Мартирос. При этом на значительной территории оказались смытыми ледниковые отложения и образовались эрозионные формы рельефа в осадочной толще эоцена.

Интересным свидетелем новейшего периода истории участка является очертание русла р. Мартирос. На карте (рис. 1) легко обнаруживаются отклонения течения реки от общего ее направления. Места этих отклонений хорошо увязываются с рельефом и геологическим строением прилегающих участков. На участке *G* и *H* русло отклонилось влево вследствие надвигания древних оползней *C* и *D*, развившихся на правом берегу. На участке *K* русло реки сильно отклонилось вправо под действием крупного древнего оползня *E*, развившегося на левом берегу. Те же участки хорошо обнаруживаются на продольном профиле реки (рис. 4); на этих участках дно реки приподнято из-за поступления дополнительного количества материала со склонов.

Древние оползни имели место задолго до основания села. Причиной их явилась подрезка склонов донной эрозией. Оползни *C* и *D* находились в фазе ползучести; во всяком случае подвижки были небольшими. В противоположность этому древний оползень *E* имел катастрофический характер. В результате этого оползня р. Мартирос оказалась запруженной и отклонилась вправо за пределы оползневого языка; этим объясняется сильное отклонение русла реки на этом участке. Неодинаковый характер древних оползней объясняется различием материала, слагающего долину. В области распространения каменистой морены на правом берегу р. Мартирос оползни *C* и *D* были небольшими, и в настоящее время здесь склон стабилизировался. В области распространения землистой морены, на левом берегу реки, оползень *E* был крупным; часть этого древнего оползня продолжает находиться в движении, образуя современный оползень *B*.

АНАЛИЗ СОВРЕМЕННЫХ ОПОЛЗНЕВЫХ ЯВЛЕНИЙ

На северной окраине села, на участке выклинивания грунтовых вод, в настоящее время широко развиты оползневые явления. Здесь в условиях крутого склона развиваются два активных оползня (рис. 1 и 3). Западный оползень *A* захватывает вулканогенную толщу; его базисом оползания являются выходы коренных осадочных пород. В рельефе он выражен рядом оползневых ступеней, спускающихся вниз по склону.

Второй крупный оползень *B* расположен в левой половине древнего оползня *E*; как указывалось выше, последний запрудил реку Мартирос. Вследствие этого его правая половина стабилизировалась, а левая продолжает смещаться, несколько отклонившись в сторону. Оползень имеет в плане дугообразно вытянутую форму (рис. 1) и обладает неровной поверхностью с продольными выступами. Здесь движением охвачены валунные глины, увлажняемые водами ледниковых отложений.

К этим оползням примыкает зона медленной глубинной ползучести *F*, захватывающая северную часть села. Эта зона, расположенная у нижней границы ледниковых отложений, развивается неравномерно. В левой, более обводненной части склона, сложенной валунными глинами (землистая морена) процесс приближается к фазе среза: в грунте обра-

зуются широкие трещины, здания несут следы сильных оползневых деформаций. В правой, менее обводненной части, сложенной валунными отложениями (каменистая морена), процесс находится в начальной фазе глубинной ползучести: трещин в грунте не наблюдается и здания имеют незначительные деформации.

Изучение динамики склона путем анализа оползневых трещин в данных условиях не могло дать заметных результатов, поскольку трещины в грунте быстро уничтожаются вследствие обработки земли, со-лифлюкций и т. д. Большую помощь оказало изучение оползневых деформаций зданий, в которых следы смещений сохраняются. Этот вопрос подробнее изложен в другой работе (Тер-Степанян и др., 1970).

Целью анализа деформации является установление характера (интенсивности и направления) первичных трещин в грунте, основываясь на виде вторичных трещин в зданиях. В упомянутой работе дается классификация сооружений по их способности реагировать на деформации (шесть типов конструкций) и классификация деформаций грунта по их интенсивности (шесть градаций).

Здания в селе Мартирос по типу конструкции относятся к следующим четырем типам.

1. Податливые сооружения (каменные дома старого типа с верхним светом, сложенные из округлых камней на глине); здесь направление трещин в стенах зданий совпадает с направлением трещин в грунте.

2. Составные сооружения (каменные дома нового типа, сложенные из округлых камней на глине, с оконными проемами); здесь трещины в стенах проходят по линии наименьшего сопротивления (дверные и оконные проемы), перпендикулярно к стене и могут несколько отклоняться от направления первичных оползневых трещин в грунте.

3. Сборные сооружения (дома с разрезным фундаментом, построенные из бетона); здесь вторичные трещины проходят по границе между частями фундамента и могут сильно отклоняться от направления первичных трещин в грунте.

4. Жесткие сооружения (каменные дома на бетонном армированном фундаменте с жесткими междуэтажными перекрытиями); они, не деформируясь, перемещаются вместе с грунтом.

Результаты обследования зданий в северной части села показаны на карте (рис. 1). Поскольку контуры зданий в плане не имеют значения, и интерес представляют только направления оползневых трещин в грунте, здания на карте показаны в виде кружков, а направления трещин—пересекающими их линиями. Картирование оползневых деформаций грунта позволило оконтурить зону глубинной ползучести.

ВЫВОДЫ

Территория села по степени устойчивости подразделяется на три района.

Восточная часть села (на карте показана цифрой I) имеет основанием плотные ледниковые отложения; эта территория вполне устойчива и может служить основанием для капитальных сооружений.

Западная часть села (показана цифрой II) имеет основанием озерные отложения, подстилаемые обводненной землистой донной мореной. Эта часть села в настоящее время устойчива; для обеспечения возможности возведения капитальных сооружений необходимо организовать сбор и удаление грунтовых вод, и, осуществить изоляцию вод оросительной канавы.

Северная часть села (показана цифрой III) примыкает к сильно обводненному понижению. Здесь развиваются оползни и глубинная ползучесть склона, и строительство в таких условиях недопустимо. Удаление грунтовых вод на этом участке необходимо не только для сохранения его устойчивости, но и для предотвращения развития глубинной ползучести на западном участке.

При возведении в селе сооружений рекомендуется шире применять меры, обеспечивающие их оползнестойкость—цементный раствор, армирование фундаментов и жесткие пояса.

Авторы выражают благодарность старшим научным сотрудникам Института геологических наук, кандидатам географических наук Г. С. Абрамяну и Л. Н. Зограбяну за участие в осмотре оползня, и ст. инженеру географу В. В. Закеяну за помощь в съемке местности.

LANDSLIDE PHENOMENA IN THE VILLAGE OF MARTIROS, ARMENIA

GEORGE TER-STEPANIAN, Professor, Dr.Tech.Sc.^{1*}
ANAHIT ARAKELIAN, Engineering Geologist^{2*} and
HASMIK TER-STEPANIAN, Civil Engineer^{3*}.

Abstract. The village of Martiros is situated on glacial deposits underlain by Tertiary sedimentary rocks. Glacial deposits in the eastern part of the village have a stony content (boulders with filling) while in the western part they are earthy (clays and sandy clays with boulders). Glacial deposits are saturated; there are numerous outcrops of groundwater. Two landslides and attached to them zone of depth creep are developing in saturated earthy glacial deposits in the northern part of the village. The bigger is an inherited landslide; its mechanism was revealed after the study of the history of development of the relief. Investigation of slope dynamics based on an analysis of landslide deformations of buildings made it possible to devide the territory of the village into three regions having different degrees of stability, and to recommend means of landslide control.

ԳՐԱԿԱՆՈՒԹՅՈՒՆ—ԼԻՏԵՐԱՏՈՒՐԱ—REFERENCES

- Асланин А. Т., 1958. Региональная геология Армении. Ереван, Айнетрат.
 Асланин А. Т. и Балыян С. П., 1953. Следы древнечетвертичного оледенения в Армении. Бюлл. МОИП, Отд. геол., т. 28.
 Габриелян А. А., 1946. К истории тектонического развития Армении в третичное время. ДАН СССР, т. 53, № 2.
 Думитрашко Н. В., 1949. О древнем оледенении Малого Кавказа. Тр. ин-та географии АН СССР, вып. 43.
 Паффенгольц Н. К., 1959. Геологический очерк Кавказа. Ереван Изд. АН Арм. ССР.
 Тер-Степанян Г. И. и Тер-Степанян А. Е., 1970. Анализ оползневых деформаций зданий и инженерных сооружений. Вопросы инженерной геологии. Доклады советских ученых к Международному конгрессу Международной ассоциации инженер-геологов. Москва, Изд. ВИНТИИ, стр. 214—222.
 Ter-Stepanian G. and Ter-Stepanian H., 1970. Analysis of landslide deformations of buildings and engineering structures. Proceedings, First Congress, International Association of Engineering Geology, Paris, tome 1, p. 155—162.

¹ Head, Dept. of Geomechanics.

² Leading Engineer, Dept. of Geomechanics.

³ Senior Engineer, Dept. of Geomechanics.

* Geological Institute, Armenian Academy of Sciences.

нк. 1. Մարտիրոս գյուղի շրջանի Երկրաբանական հարտեզ, ալյուվիալ, գելյուվիալ և սաղցագետային նստվածքները հանված են (ներդիր 1):

նկ. 2. Երկրաբանական պրոֆիլ ըստ $X-X'$ գծի (ներդիր 2, վերև):

նկ. 3. Երկրաբանական պրոֆիլ ըստ $Y-Y'$ գծի (ներդիր 2, մեջտեղը):

ԵՐԿՐԱԲԱՆԱԿԱՆ ՔԱՐՏԵԶԸ ԵՎ ՊՐՈՅԵԿՏԻ ԼԵԿՑԻԱՆ (ներդիր 2, ներքեւ աջից)
 1—միջին էոցիներան նստվածքային հաստվածք. 2—պիլոցինյան հրաբխածին-բեկորային հաստվածք. 3—խոչոր-բեկորային նույթի գերակռությամբ սաղցագետային նստվածքներ՝ «բարձրաշատ մորեն»: 4—մասնաճափայի նույթի գերակռությամբ սաղցագետային նստվածքներ՝ «հոգաշատ»: մորեններ և սաղցագետային նստվածքները. 5—լամա-սաղցագետային նստվածքներ. 6—համեմինի պլյուվիալ հաստվածքներ. 7—սովորային կուտակումներ. 8—ապարների սահմաններ. 9—հորատանցք (a) և շարֆ (b) բարտեղի վրա և դրանց համարը. 10—հորատանցք (a) և շարֆ (b) կորպաժերի վրա և դրանց համարը. 11—շերտերի անկման ուղղությունը. 12—գրումինի ուրվագեծքներ և դրա սահմանը. 13—սաղցագետային շարժման ուղղությունը բարաշատ (a) և հողաշատ (b) հատակային մորենով. 14—Մարտիրոս գետի ժամանակակից (a) և ենթագրվող համեմինի (b) դիրքը. 15—աղբյուր. 16—դեմնաշղթերի մակարդակը կորպաժերի վրա. 17—հարձանաշղթային. 18—ոռողիկ առող. 19—միջին-չորրորդական լճի պատում. 20—ժամանակակից A և B սողանքների սահմանը և շարժման ուղղությունը. 21—Մարտիրոս գետի հոնը սահմանակող համեմինի C, D և E սողանքների սահմանը և ուղղությունը. 22—սողանքների սահման մակերեսովը. 23—լանջի ենթադրվող մակերեսովը մինչև B սողանքի զարգացումը ($Y-Y'$ պրոֆիլի վրա), 24—գրանտում հորիզոննական (a) և հօնցված (b) սողանքային հեղեղիք. 25—վիմափոր տաճար (XII դար). 26—շենքեր առանց սողանքային ձևափոխությունների. 27—շենքեր սողանքային ձևափոխություններով. գծիները ցույց են տալիս առաջնային սողանքային հեղիք ուղղությունը. 28—ինքնեներա-երկրաբանական դրշաններ (ըստ կայունության աստիճանի).

նկ. 4. Մարտիրոս գետի Երկայնակի պրոֆիլ (ներդիր 2, ներքեր ձախից): 1—ափից մասնող սողանքային նյութի. 2—գետի ժամանակակից երկայնական պրոֆիլ. 3—ենթագրվող երկայնական պրոֆիլ մինչև սողունությունը:

Рис. 1. Геологическая карта района села Мартирос; аллювиальные, делювиальные и флювиогляциальные отложения сняты (вкладка 1).

Рис. 2. Геологический разрез по линии $X-X'$ (вкладка 2, вверху);

Рис. 3. Геологический разрез по линии $Y-Y'$ (вкладка 2, середина);

ЛЕГЕНДА К ГЕОЛОГИЧЕСКОЙ КАРТЕ И РАЗРЕЗАМ (вкладка 2, внизу справа)

1—осадочная толща среднего юрского периода; 2—вулканогенно-обломочная толща плиоцена; 3—ледниковые отложения с преобладанием крупнообломочного материала—«каменистая морена»; 4—ледниковые отложения с преобладанием мелкозернистого материала—«землистая морена» и флювиогляциальные отложения; 5—озерно-ледниковые отложения; 6—древне-аллювиальные отложения; 7—оползневые накопления; 8—граница пород; 9—скважина (a) и шурф (b) на карте и их номера; 10—скважина (a) и шурф (b) на разрезе и их номера; 11—направление падения пластов; 12—очертание друмлина и его ось; 13—направление движения ледника с «каменистой» (a) и «землистой» (b) донной мореной; 14—современное (a) и предполагаемое древнее (b) положение р. Мартирос; 15—родник; 16—уровень грунтовых вод на разрезах; 17—заболоченность; 18—оросительный канал; 19—прорыв среднечетвертичного озера; 20—граница и направление движения современных оползней A и B; 21—граница и направление движения древних оползней C, D и E, запрудивших русло р. Мартирос; 22—поверхность скольжения оползня; 23—предполагаемая поверхность склона до развития оползня B (на разрезе $Y-Y'$); 24—горизонтальные (a) и опущенные (b) оползневые трещины в грунте; 25—пещерный храм (XII век); 26—здания без оползневых деформаций; 27—здания с оползневыми деформациями; черточка показывает направление первичной оползневой трещины; 28—инженерно-геологические районы (по степени устойчивости).

Рис. 4. Продольный профиль реки Мартирос (вкладка 2, внизу слева). 1—оползневой материал, поступивший с берегов; 2—современный продольный профиль реки; 3—предполагаемый продольный профиль до оползания.

Fig. 1. Geological map of the Martiros village region, alluvial, talus and fluvioglacial deposits being removed (plate 1).

Fig. 2. Geological cross-section along the line X-X' (plate 2, above).

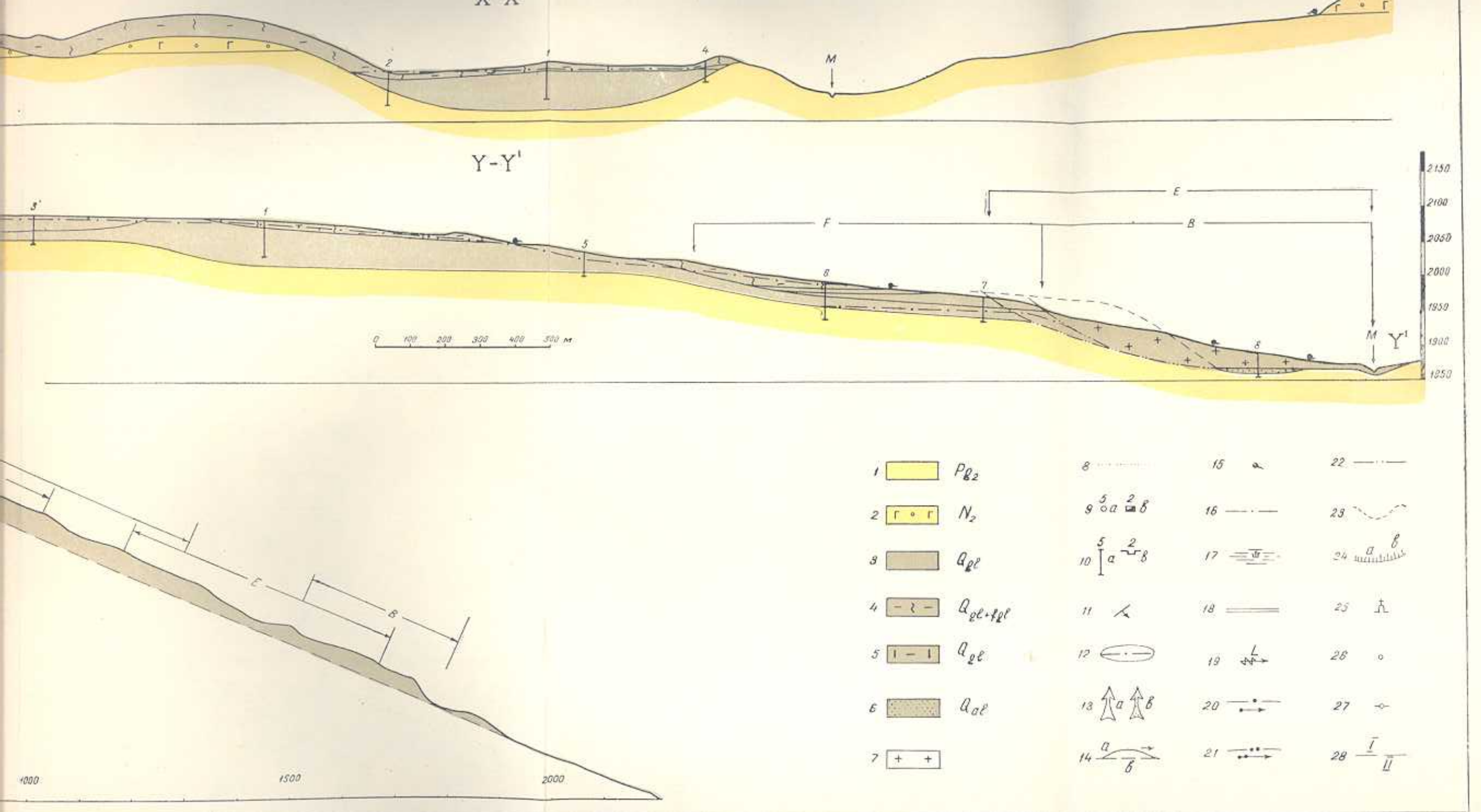
Fig. 3. Geological cross-section along the line Y-Y'' (plate 2, in the middle).

LEGEND TO THE GEOLOGICAL MAP AND PROFILES (plate 2, below on the right).

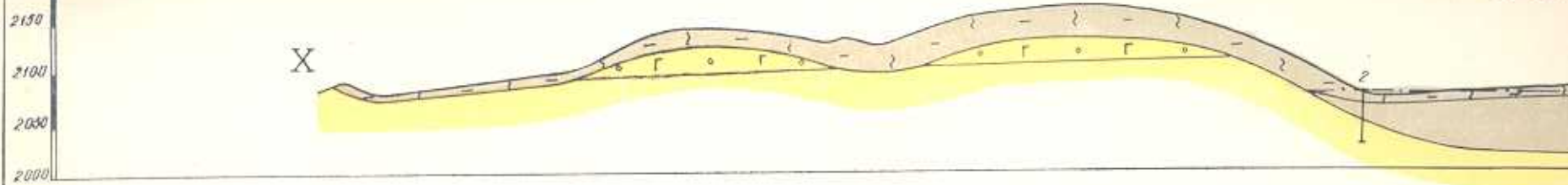
1—middle Eocene sedimentary deposits; 2—Pliocene volcanogenic fragmentals; 3—glacial deposits with the predominance of coarse fragmentals: „stony moraine”; 4—glacial deposits with the predominance of fine fragmentals: „earthy moraine” and fluvioglacial deposits; 5—glacio-lacustrine deposits; 6—ancient alluvial deposits; 7—colluvial accumulations; 8—boundaries of rocks; 9—borehole (a) and test pit (b) on the map and its number; 10—borehole (a) and test pit (b) on the profile and its number; 11—direction of stratum dip; 12—outline of a drumlin and its axis; 13—direction of glacier movement carrying stony (a) and earthy (b) moraine; 14—recent (a) and supposed ancient (b) position of the Martiros river; 15—spring; 16—groundwater lever on profiles; 17—bogginess; 18—irrigation ditch; 19—breach of a middle-Quaternary lake; 20—boundaries of the recent landslides A and B, and direction of their movement; 21—boundaries of the ancient landslides C, D and E having dammed up the Martiros-river, and direction of their movement; 22—sliding surface of a landslide; 23—supposed surface of slope before the development of landslide B (on the profile Y-Y''); 24—horizontal (a) and sunken (b) landslide fissures; 25—cave temple (XII century); 26—buildings having no landslide deformations; 27—buildings having landslide deformation; line shows the direction of primary landslide fissure; 28—division of territory into engineering-geological regions according degree of stability.

Fig. 4. Longitudinal profile of the Martiros river (plate 2, below on the left). 1—colluvial material coming from the banks; 2—recent longitudinal profile; 3—supposed longitudinal profile before the sliding.

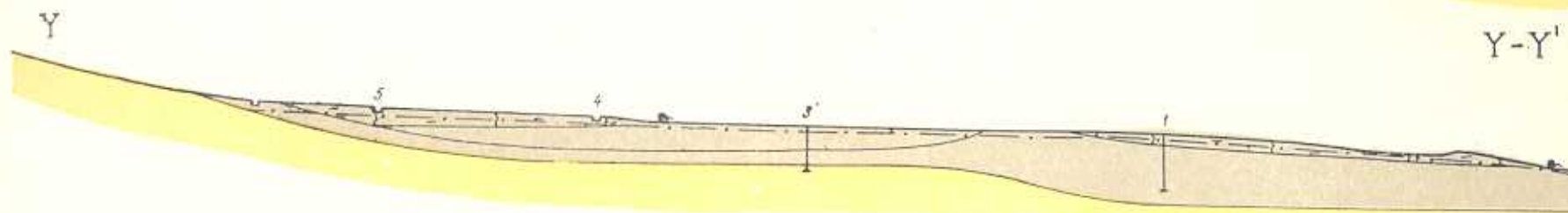




X-X



Y-Y'



0 100 200 300 400

